

Санкт–Петербургский Государственный Университет
факультет Прикладной Математики - Процессов Управления
кафедра Механики Управляемого Движения

ЛИТВИНОВ Никита Константинович

Выпускная квалификационная работа.

*Управление мультикоптером в аварийной
ситуации*

Уровень образования: магистратура

Направление 01.04.02 «Прикладная математика и информатика»

Образовательная программа ВМ.5517.2020 «Методы прикладной
математики и информатики в задачах управления»

Научный руководитель:

доцент, кафедра механики управляемого движения,
к.ф. - м.н. Шиманчук Дмитрий Викторович

Рецензент:

доцент, кафедра общенаучных дисциплин,
«Военная академия материально-технического
обеспечения имени генерала армии А.В.Хрулёва»
к.т.н. Волков Юрий Александрович

Санкт-Петербург

2022 г.

Содержание

Введение.	3
Обзор литературы	5
Глава 1. Постановка задачи.	7
Глава 2. Математическая модель квадрокоптера.	8
2.1. Кинематика.	8
2.2. Динамика.	10
Глава 3. Управление при отказе двигателя	13
3.1. Программное движение	13
3.2. Стабилизация на программной кривой	15
Глава 4. Численный эксперимент	18
Заключение	24
Список литературы	25
Приложение	28

Введение.

В последнее время такое устройство как мобильный квадрокоптер небольших размеров и мощностей вышло на массовое производство. И не удивительно, так как простая конструкция, удовлетворительные показатели грузоподъёмности и относительная дешевизна сделали его де-факто стандартом для съёмочного процесса в труднодоступных местах. Также в следствии конструкции, квадрокоптер имеет слабую парусность, что делает его мало зависимым от ветра, в отличие от других беспилотных летательных аппаратов.

Однако, при удешевлении и облегчении конструкции и моторов пропеллеров возникает риск отказа двигателей или механической поломки двигателей. А на борту коптер может нести дорогостоящее или хрупкое оборудование, поэтому тема сохранения общей целостности устройства в аварийной ситуации с помощью специального управления нуждается в тщательном и всестороннем исследовании.

Распределения тяги для ротации положения квадрокоптера в пространстве изображено на рис.(1). Для стационарного положения суммарная тяга винтов должна равняться силе тяжести, для поворота на месте ослабляется тяга на двух симметричных винтах и увеличивается на двух других (два верхних на рис.(1)).

Для движения в каком либо направлении ослабляется тяга на винтах, ближайших к вектору направления движения, а на противоположных увеличивается, при сохранении суммарной тяги для поддержания высоты (то есть противопоставление силе тяжести).

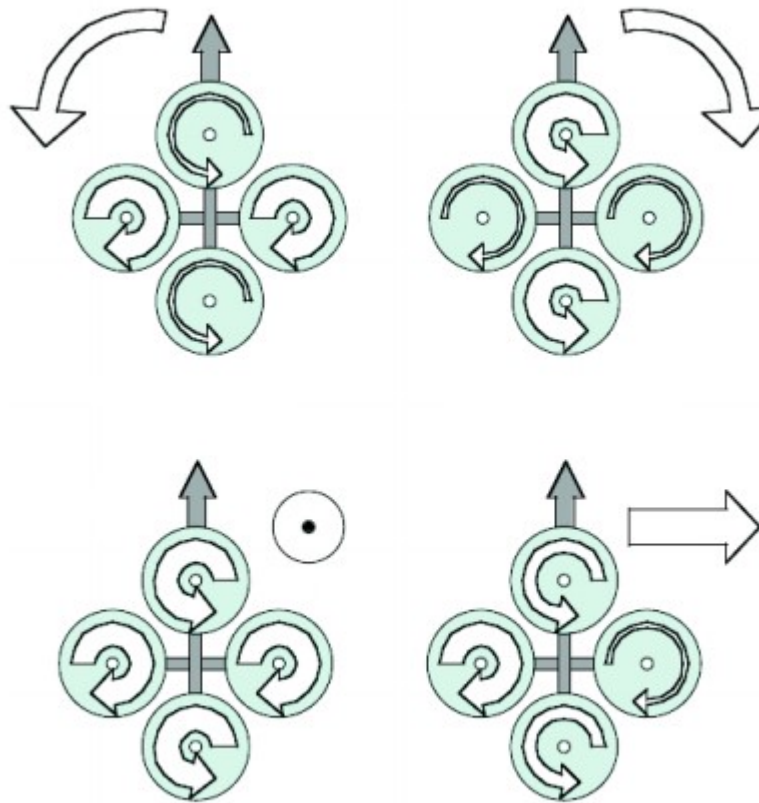


Рис. 1: Тяга двигателей для корректировки положения.

Из-за схемы перемещения, которая подразумевает наклоны корпуса коптера, придётся ввести в управление способ нейтрализации отклонений от начального положения на программной кривой.

Обзор литературы

С управлением квадрокоптера связано большое количество работ, среди них можно выделить [2], в которой проведена классификация алгоритмов управления для различных моделей квадрокоптеров с качественным анализом этих алгоритмов. Однако, как и с любым устройством, возникают проблемы нештатных ситуаций, когда отказывают двигатели, падает тяга или временно теряется управление. На эту тему уже имеется широкий ряд исследований, например, в [3] проведён анализ таких ситуаций, а в [1] подробно остановились на динамической модели и провели численные эксперименты для различных случаев.

Классификация аварийных ситуаций представлена в [3] и [1]. Приведём эти результаты в общем списке:

- падение тяги не ниже критической (как правило берётся 30%);
- временный отказ двигателя (время меньше чем частота управления или расчёта нового);
- падение тяги ниже критической отметки, здесь рассматривается три случая:
 - одного из двигателей;
 - двух симметричных;
 - двух смежных;
 - трёх двигателей (очевидно что при отказе всех четырёх устройство окажется неуправляемым);
- те же три случая из предыдущего пункта, но с полным отказом двигателя;

Для каждого случая существует много решений, в большинстве из перечисленных случаев это алгоритм плавной посадки в автоматическом режиме, направленный на снижение силы удара и максимальное сокращение расстояния до целевой точки на земле, иногда можно стабилизировать полёт для достижения предполагаемого оператором места приземления.

В работе [14] подробно останавливаются на общих принципах работы линейно-квадратичных регуляторов, и регулируемых ими системах. В работах [1] - [13] рассматриваются математические модели коптеров и методы управления ими.

А источники [15] - [20] служили фундаментальной основой вывода уравнений и методов исследования.

Глава 1. Постановка задачи.

В работе ставятся следующие задачи:

- Построить программное движение для выхода из аварийной ситуации;
- Построить управление на программном движении, учитывающее отклонения от программной кривой;
- Численно промоделировать полученное решение

Цель работы: Проанализировать возможные аварийные ситуации и разработать безопасное решение.

Глава 2. Математическая модель квадрокоптера.

Схематически квадрокоптер изображён на рис.2, система координат, жёсто связанная с телом, помещена в центр масс устройства, ось Oz направлена перпендикулярна плоскости вращения винтов.

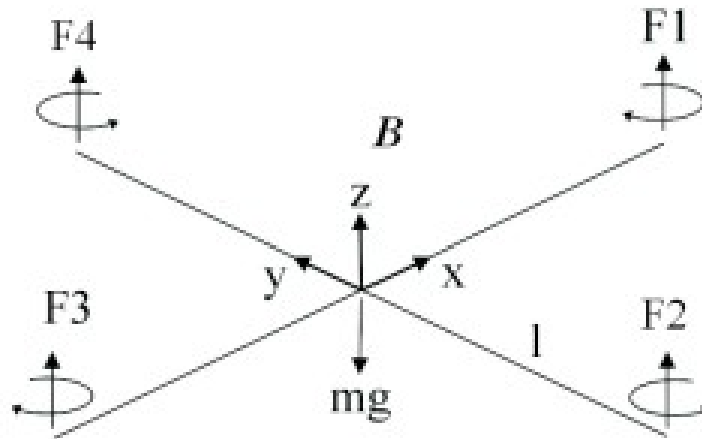


Рис. 2: Схематическое изображение квадрокоптера и действующих на него сил

Также на рис. (2) изображены основные силы, действующие на квадрокоптер (вследствии слабой парусности и относительно малой скорости полёта сопротивление воздуха учитывается только во вращении винтов), l – расстояние от винта до центра масс, B – body, тело квадрокоптера, буквой P будем обозначать всё что связано непосредственно с пропеллерами.

2.1 Кинематика.

Рассмотрим построение матрицы ориентации через углы Эйлера:

$$R(\varphi, \psi, \gamma) = R(\psi)R(\theta)R(\varphi). \quad (1)$$

Матрицы поворота относительно осей координат в (1):

$$R(y, \psi) = \begin{pmatrix} \cos \psi & -\sin \psi & 0 \\ \sin \psi & \cos \psi & 0 \\ 0 & 0 & 1 \end{pmatrix}, \quad (2)$$

$$R(z, \theta) = \begin{pmatrix} 1 & 0 & 0 \\ 0 & \cos \theta & -\sin \theta \\ 0 & \sin \theta & \cos \theta \end{pmatrix}, \quad (3)$$

$$R(\varphi) = \begin{pmatrix} \cos \varphi & -\sin \varphi & 0 \\ \sin \varphi & \cos \varphi & 0 \\ 0 & 0 & 1 \end{pmatrix}. \quad (4)$$

Результирующая матрица ориентации, из уравнений (1), (2), (3) и (4):

$$R(\varphi, \psi, \gamma) = \begin{pmatrix} \cos \psi \cos \varphi - \sin \psi \sin \varphi \cos \theta & -\cos \psi \sin \varphi - \sin \psi \cos \varphi \cos \theta & \sin \psi \sin \theta \\ \sin \psi \cos \varphi + \cos \psi \sin \varphi \cos \theta & -\sin \psi \sin \varphi + \cos \psi \cos \varphi \cos \theta & -\cos \psi \sin \theta \\ \sin \varphi \sin \theta & \cos \varphi \sin \theta & \cos \theta \end{pmatrix} \quad (5)$$

Тогда радиус вектор любой точки квадрокоптера в абсолютной системе координат выражается через матрицу ориентации 5 как:

$$\bar{r}_B = R \begin{pmatrix} x \\ y \\ z \end{pmatrix} + \bar{r}. \quad (6)$$

Из 6, продифференцировав, можно получить скорость любой точки тела коптера через радиус-вектор центра.

Обозначим вектор угловой скорости тела как

$$\omega^B = \begin{pmatrix} p \\ q \\ r \end{pmatrix}, \quad (7)$$

где p, q, r – составляющие угловой скорости по осям декартовой системы координат, связанной с телом коптера.

Тогда зависимость углов ориентации от угловой скорости будет выражаться как:

$$\begin{pmatrix} \dot{\psi} \\ \dot{\theta} \\ \dot{\varphi} \end{pmatrix} = \begin{pmatrix} (p \sin \varphi + q \cos \varphi) \frac{1}{\sin \theta} \\ p \cos \varphi - q \sin \varphi \\ r - (p \sin \varphi - q \cos \varphi) \frac{1}{\tan \theta} \end{pmatrix} \quad (8)$$

Интегрируя 8, и используя 5 и 6 можно получить положение тела коптера в пространстве.

2.2 Динамика.

По 2му закону Ньютона:

$$m\ddot{\vec{r}} = R\vec{e}_z \sum_{n=1}^4 F_n + m\vec{g}, \quad (9)$$

где R - матрица ориентации в абсолютной системе координат, \vec{r} - радиус вектор центра масс квадрокоптера, \vec{e}_z - вектор, задающий ось Oz абсолютной системы координат, F_n - сила тяги винта.

Для упрощения математической модели сделаем несколько предположений:

- сила тяги прямо пропорциональна квадрату его угловой скорости, то есть

$$F_n = k_f \omega_n^2, \quad (10)$$

где k_f - некоторый коэффициент, получающийся из конкретной конфигурации винта;

- реактивный момент пропеллера линейно пропорционален силе тяги с коэффициентом k_M , то есть:

$$M_i = (-1)^{n+1} k_M F_N. \quad (11)$$

- аэродинамическое сопротивление вращению винта пропорционально угловой скорости вращения тела коптера по оси O_z системы координат, жёстко связанной с телом:

$$M_a = (0, 0, -k_z r). \quad (12)$$

Рассмотрим моменты всех сил, действующих на тело. Моменты внешних сил (учитывая (11) и (12)):

$$M_{res} = \begin{pmatrix} 0 \\ F_3 l \\ 0 \end{pmatrix} - \begin{pmatrix} 0 \\ F_1 l \\ 0 \end{pmatrix} + \begin{pmatrix} F_2 l \\ 0 \\ 0 \end{pmatrix} - \begin{pmatrix} F_4 l \\ 0 \\ 0 \end{pmatrix} + \begin{pmatrix} 0 \\ 0 \\ k_M \sum_{n=1}^4 F_n \end{pmatrix} + \begin{pmatrix} 0 \\ 0 \\ -k_z r \end{pmatrix}, \quad (13)$$

С другой стороны, результирующий момент равен:

$$M_{res} = I^B \dot{\omega}^B + \underbrace{\sum_{n=1}^4 I^P \dot{\omega}^{P_n} + \omega^B \times (I^B \omega^B + \sum_{n=1}^4 I^P (\omega^B + \omega^{P_n}))}_{=M_S}, \quad (14)$$

где M_S – момент, вызванный силой Кориолиса и реактивным моментом всех пропеллеров, учитывая (7) он запишется как:

$$M_S = \begin{pmatrix} ((I_{zz}^B + 4I_{zz}^P) - (I_{yy}^B + 4I_{xx}^P))qr + I_{zz}^P q \sum_{n=1}^4 \omega_n \\ -((I_{zz}^B + 4I_{zz}^P) - (I_{xx}^B + 4I_{xx}^P))pr - I_{zz}^P p \sum_{n=1}^4 \omega_n \\ ((I_{yy}^B + 4I_{xx}^P) - (I_{xx}^B + 4I_{xx}^P))pq \end{pmatrix}. \quad (15)$$

Из уравнений (10), (13), (14) и (15) получаем дифференциальные уравнения для составляющих угловой скорости тела квадрокоптера:

$$\begin{cases} I_{xx}^B \dot{p} = k_f(\omega_2^2 - \omega_4^2)l - ((I_{zz}^B + 4I_{zz}^P) - (I_{yy}^B + 4I_{xx}^P))qr - I_{zz}^P q \sum_{n=1}^4 \omega_n \\ I_{xx}^B \dot{q} = k_f(\omega_3^2 - \omega_1^2)l + ((I_{zz}^B + 4I_{zz}^P) - (I_{xx}^B + 4I_{xx}^P))pr - I_{zz}^P p \sum_{n=1}^4 \omega_n \\ I_{zz}^B \dot{r} = -k_z r + k_M k_f(\omega_1^2 - \omega_2^2 + \omega_3^2 - \omega_4^2). \end{cases} \quad (16)$$

Третья составляющая из уравнения (15) обнулилась, так как $I_{yy}^B = I_{xx}^B$

из-за симметричности тела коптера.

Далее для любой аварийной ситуации в уравнениях (16) будет обнуляться угловая скорость вышедшего из строя двигателя либо накладываться ограничения при падении тяги в двигателе. Управлять мы можем лишь тягой двигателей, то есть угловыми скоростями вращения пропеллеров ω_n

Глава 3. Управление при отказе двигателя

Отказ двигателя означает остановку и падение тяги до нуля, не уменьшая общности, возьмём 4й. То есть $\hat{\omega}_4 = 0$ и $F_4 = 0$, а это в свою очередь означает и обнуление реактивного момента этого двигателя:

$$M_4 = (-1)^5 k_M F_4 = 0. \quad (17)$$

Однако, посмотрев на рис.(2), можно заметить что симметричный отказавшему двигатель будет выводить систему из равновесия относительно горизонтальной плоскости, и коптер войдёт в непредсказуемое неуправляемое падение. Поэтому для сохранения устойчивости системы необходимо отключение ещё одного двигателя, что делает случаи отказа одного и двух симметричных двигателей абсолютно аналогичными (в некоторых работах предлагается управление квадрокоптером при трёх работающих двигателях, но в данной работе остановимся подробнее на стабилизации положения коптера на одной высоте и с неизменным положением центра масс, что без отключения симметричного двигателя невозможно), то есть:

$$\hat{\omega}_2 = 0, F_2 = 0, M_2 = 0. \quad (18)$$

Также невозможно управление квадрокоптером в случае отказа двух соседних двигателей, так как нечем будет уравновесить опрокидывающий эффект рычага относительно центра тяжести.

3.1 Программное движение

Итак, квадрокоптер превращается в биспинер, что будет вращаться относительно вертикальной оси через центр масс под действием реактивного момента двух симметричных двигателей, которые в силу конструкции вращаются в одну сторону. Управлять в такой системе возможно лишь двумя значениями силы тяги, вернее их разностью и суммарной тягой: $F_1 + F_3$ и $F_1 - F_3$, а точнее угловыми скоростями пропеллеров ω_1 и ω_3 . Для поддержания или набора высоты нужно управлять суммарным значение тяги,

что видно из рис. (2).

Уравнение (8) для углов ориентации через составляющие угловой скорости тела коптера не подвергнутся изменениям, но выражения (16) с учётом (17) и (18) преобразуются в:

$$\begin{cases} I_{xx}^B \dot{p} = -(I_{zz}^B + 4I_{zz}^P - I_{xx}^B - 4I_{xx}^P)qr - I_{zz}^P q(\omega_1 + \omega_3), \\ I_{xx}^B \dot{q} = (I_{zz}^B + 4I_{zz}^P - I_{xx}^B - 4I_{xx}^P)pr + I_{zz}^P p(\omega_1 + \omega_3) + k_f l(\omega_1^2 - \omega_3^2), \\ I_{zz}^B \dot{r} = -k_z r + k_M k_f(\omega_1^2 + \omega_3^2). \end{cases} \quad (19)$$

А движение по траектории рассчитывается посредством второго закона Ньютона (9), перепишем его в виде:

$$\ddot{d} = \begin{pmatrix} 0 \\ 0 \\ -g \end{pmatrix} + R \hat{e}_z \frac{k_f}{m} \begin{pmatrix} 0 \\ 0 \\ \omega_1^2 + \omega_3^2 \end{pmatrix}. \quad (20)$$

Из уравнения (20) делаем вывод, что для поддержания квадрокоптера на определённой высоте при двух работающих двигателях необходимо:

$$\omega_n = \sqrt{\frac{mg}{2k_f}}, \quad (21)$$

а при всех четырёх работающих двигателях:

$$\omega_n = \sqrt{\frac{mg}{4k_f}}. \quad (22)$$

Очевидно, что угловая скорость не может изменяться мгновенно, основываясь на работе [1] возьмём закон изменения угловой скорости в простейшем случае:

$$\dot{\omega}_c = \frac{1}{T_\omega}(\omega_d - \omega_c), \quad (23)$$

где ω_d – желаемая(desired) угловая скорость пропеллера, ω_c – текущая(current), T_ω – задержка, обычно равная примерно 0,01-0,02.

То есть для того, чтобы избежать падения квадрокоптера, необходимо довести угловую скорость пропеллера из начальной (для моделирования

предположим что это (22)) в конечную угловую скорость для дрейфа (21). А далее придерживаться решения системы (19) при нулевых угловых ускорениях и угловых скоростях пропеллера (21):

$$\hat{p} = 0, \hat{q} = 0, \hat{r} = \frac{k_M m g}{k_z} \quad (24)$$

Однако, недостаточно просто достигнуть скорости дрейфа и придерживаться (24), из-за задержки (23) появится некоторая абсолютная скорость при первом достижении угловой скорости дрейфа. Значит нужно обеспечить режим торможения.

3.2 Стабилизация на программной кривой

Как было сказано выше, при стабилизирующем воздействии на вращение относительно осей O_x, O_y жёстко связанной с телом системы координат, суммарное значение тяги, то есть $k_f(\omega_1^2 + \omega_3^2)$ в третьем уравнении системы (19), должно оставаться постоянным для поддержания или стабильного набора высоты, а управлять мы можем лишь разностью $\omega_1^2 - \omega_3^2$, учитывая упомянутое ограничение.

Для стабилизации системы недостаточно обнулить угловые ускорения \dot{p} и \dot{q} , необходимо также вернуться к начальной ориентации, для этого возьмём вектор нормали, который меняется по закону:

$$\dot{n} = \omega^B \times n. \quad (25)$$

Будет достаточно взять лишь две компоненты нормали n_x и n_y , так как третья выражается через них как $n_z = \sqrt{1 - n_x^2 - n_y^2}$.

Введём переменную новую переменную:

$$s = \begin{pmatrix} p \\ q \\ n_x \\ n_y \end{pmatrix}, \quad (26)$$

и тогда отклонение от программной кривой:

$$\tilde{s} = s - \hat{s},$$

где s – действительная ориентация в данный момент времени, а \hat{s} – ориентация на программной кривой.

Линеаризуем систему, используя уравнения для (19), (25) и (26):

$$\dot{\tilde{s}} = A\tilde{s} + Bu, \quad (27)$$

где

$$A = \left. \frac{\partial \dot{s}}{\partial s} \right|_{s=\hat{s}} = \begin{pmatrix} 0 & -f & 0 & 0 \\ f & 0 & 0 & 0 \\ 0 & -\hat{n}_z & 0 & \hat{r} \\ \hat{n}_z & 0 & -\hat{r} & 0 \end{pmatrix}, B = \begin{pmatrix} 0 \\ \frac{l}{I_{xx}^B} \\ 0 \\ 0 \end{pmatrix},$$

где

$$f = (I_{zz}^B + 4I_{zz}^P - I_{xx}^B - 4I_{xx}^P) \frac{\hat{r}}{I_{xx}^B} + \frac{I_{zz}^P}{I_{xx}^B} (\omega_1 + \omega_3).$$

По критерию Калмана система (27) полностью управляема когда ранг матрицы управляемости не равен 4, то есть она невырождена, для проверки найдём её определитель и приравняем к нулю:

$$\det(BABA^2BA^3B) = -f \left(\frac{l}{I_{xx}^B} \right)^4 \hat{n}_z^2 \hat{r} (\hat{r} - f)^2 = 0.$$

Очевидно что определитель равен нулю только в случае $\hat{r} = f$, в том числе когда оба равны нулю.

Для стабилизации системы будем строить линейно-квадратичный регулятор – LQR, когда управление ищется в виде $u = K^{opt} \tilde{s}$, где K^{opt} – аргумент для минимума функционала качества:

$$J(K) = \int_0^\infty (y^T R_J y + u^T Q u) dt, \quad (28)$$

где R_J, Q – весовые матрицы, y – наблюдение.

Есть множество программно реализованных алгоритмов LQR, поэто-

му ограничусь кратким описанием работы, а сам для моделирования воспользуюсь в Python 3.10 встроенной функцией `control.lqr()`.

Глава 4. Численный эксперимент

Для численной реализации задержка T_ω для более наглядных графиков в этой главе взята равной 0.5.

Эксперимент проводился для наглядной проверки валидности предложенной математической модели, а в частности того что биспиннер стабилизируется и двигается по описанным динамическим уравнениям. Вес тела коптера был взят 0.5, расстояние от центра масс до пропеллера 0.3, ускорение свободного падения 9.81. Коэффициенты связи тяги с угловой скоростью, реактивного момента, аэродинамического сопротивления вращению винта соответственно: $k_f = 6.41 * 10^{-6}$, $k_M = 1.69 * 10^{-2}$, $k_z = 2.75 * 10^{-3}$. Коптер стартовал зависнув на высоте 5.

Моменты инерции пропеллера и тела коптера: $I_{zz}^B = 5.5 * 10^{-3}$, $I_{xx}^B = 3.14 * 10^{-3}$, $I_{zz}^P = 1.5 * 10^{-9}$, $I_{xx}^P = 1.5 * 10^{-5}$.

Проиллюстрируем что происходит при управлении на достижение тяги для дрейфа без торможения:

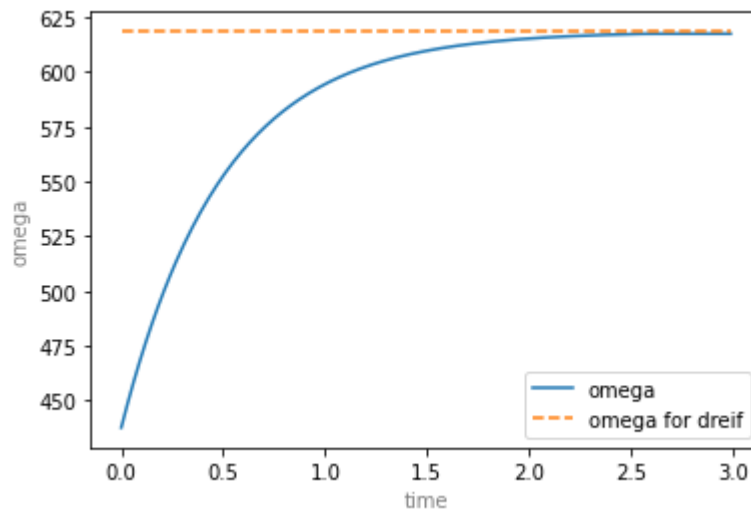


Рис. 3: Изменение угловой скорости от начального до достижения тяги дрейфа

В этом случае сила тяги пропеллеров уравнивает силу тяжести, то есть сумма всех сил, действующих на тело равняется нулю, и по инерции не изменяя скорости коптер продолжает лететь вниз до 0, что показано на рис. (4):

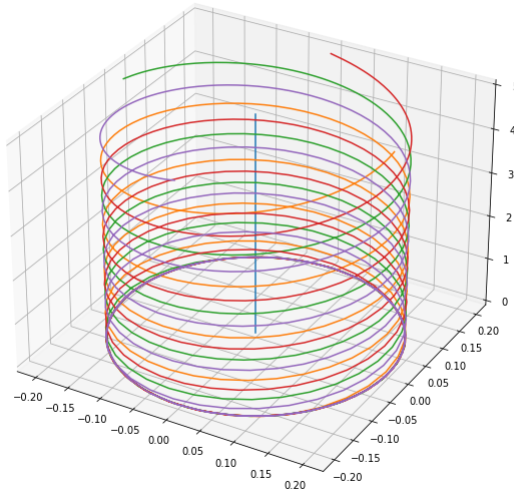


Рис. 4: Движение основных точек во время падения биспиннера.

При добавлении отклонения $(0.1, 0.1, 0.1)$ от нулевой начальной угловой скорости вращения срабатывает алгоритм LQR, что проиллюстрировано на рис.(5)

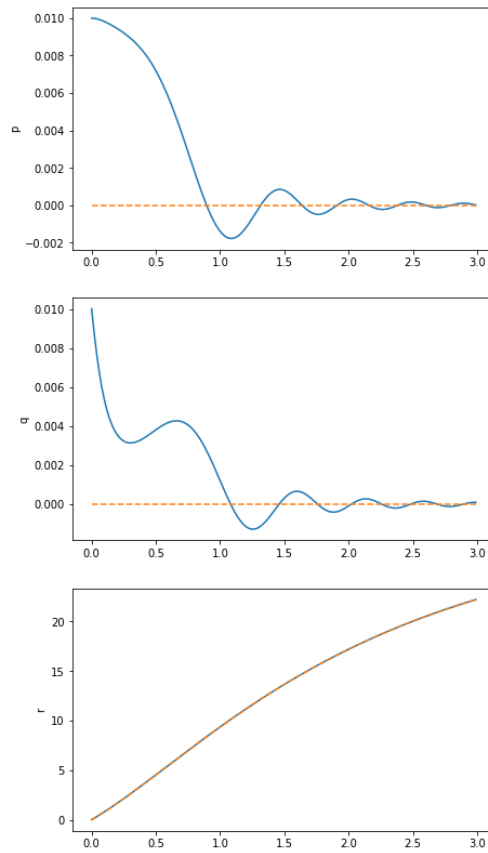


Рис. 5: Стабилизация угловой скорости на программном движении.

Смоделируем поднятие тяги выше тяги дрейфа и посмотрим на поведение угловой скорости в этом процессе. Изменение угловой скорости пропеллера на такой программном движении изображено на рис. (6)

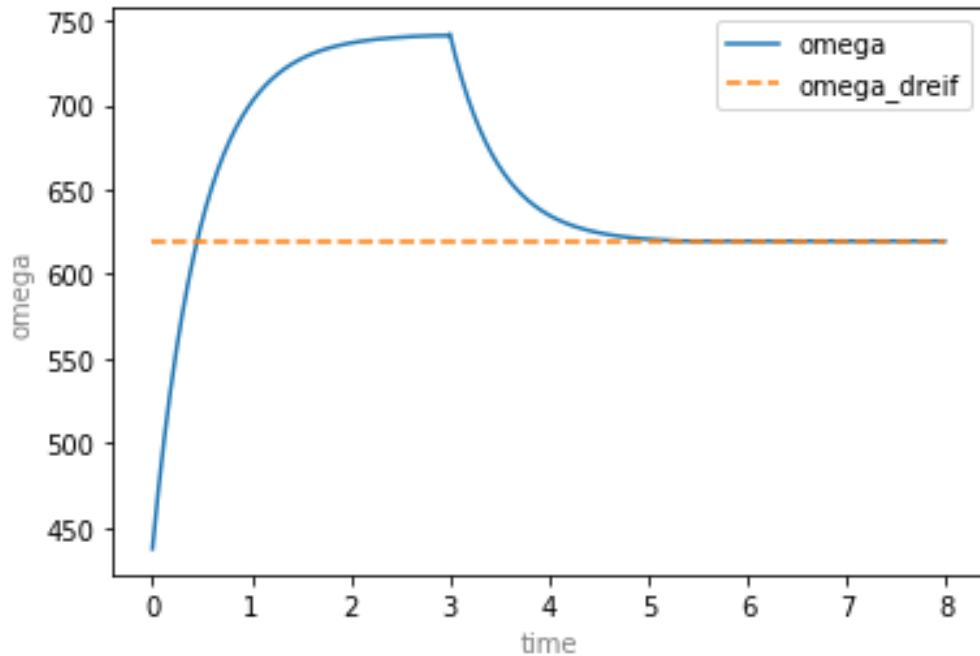


Рис. 6: Изменение угловой скорости пропеллера на программном движении с отскоком.

Резкий отскок от максимальной угловой скорости пропеллера при моделировании оправдан физически, при подаче другого напряжения на ротор разгон сначала происходит резко и замедляется при подходе скорости вращения к соответствующей ей подаваемой мощности тока. Это определяется магнитным моментом ротора, который определяется из конфигурации мотора, установленных на квадрокоптере. Магнитный момент зависит от количества и качества магнитов на роторе, сечения проводов на статоре, магнитными свойствами материалов и т.д. и т.п.

Отработка линейно-квадратичного регулятора в этом процессе показано на рис.(7)

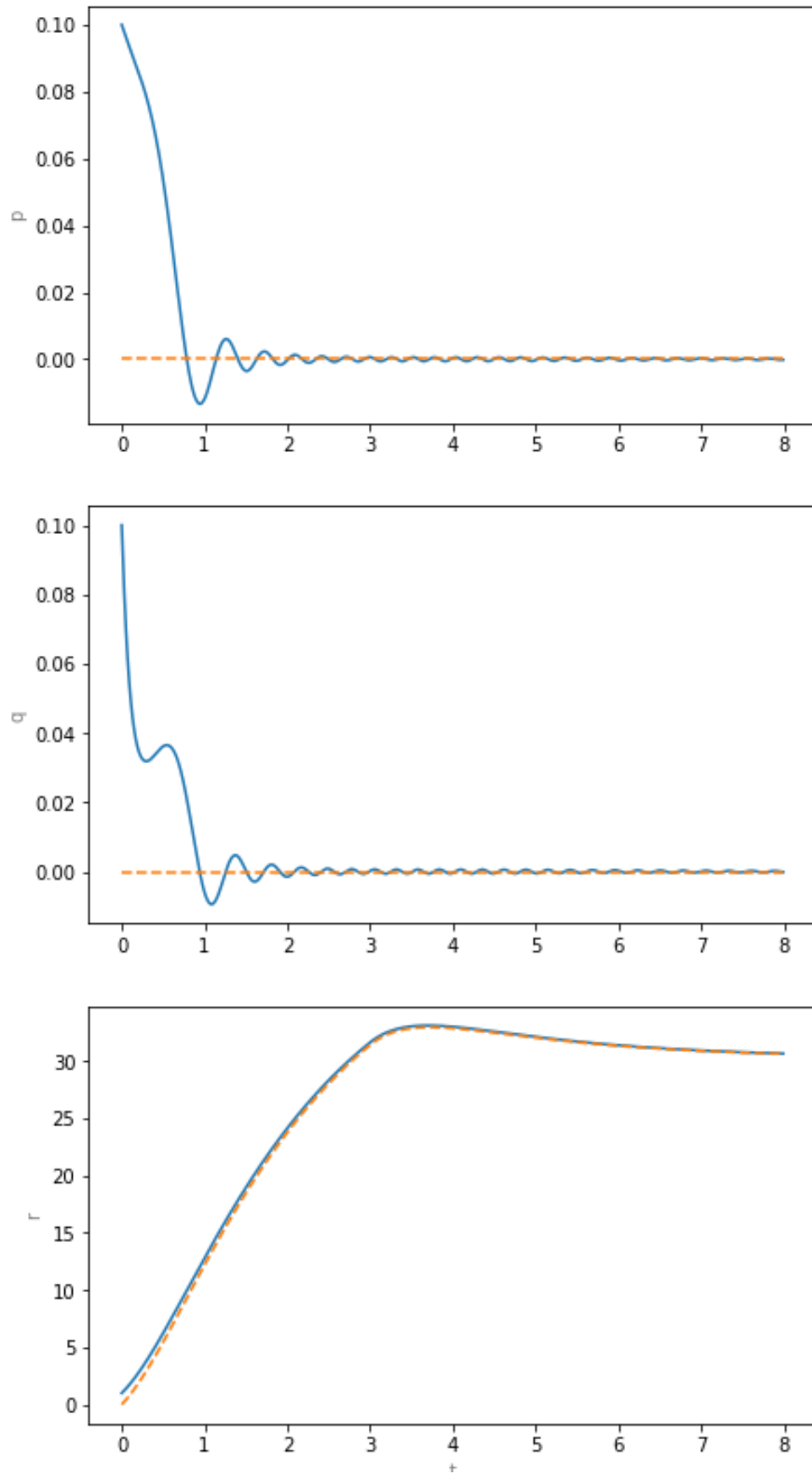


Рис. 7: Стабилизация угловой скорости на программном движении с отскоком.

Опытным путём было определено что оптимальные параметры lqr (28) равны:

$$Rlqr = 60, Qlqr = \begin{pmatrix} 0.01 & 0 & 0 & 0 \\ 0 & 0.01 & 0 & 0 \\ 0 & 0 & 0.01 & 0 \\ 0 & 0 & 0 & 0.01 \end{pmatrix}$$

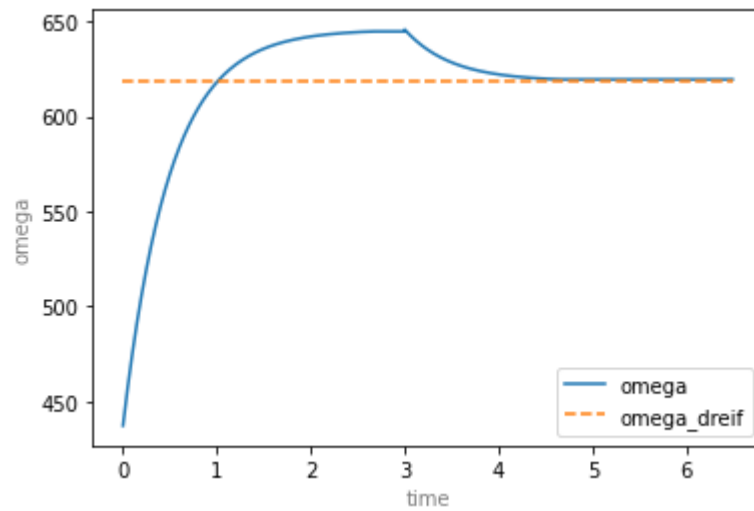


Рис. 8: Изменение угловой скорости пропеллера на программном движении с торможением.

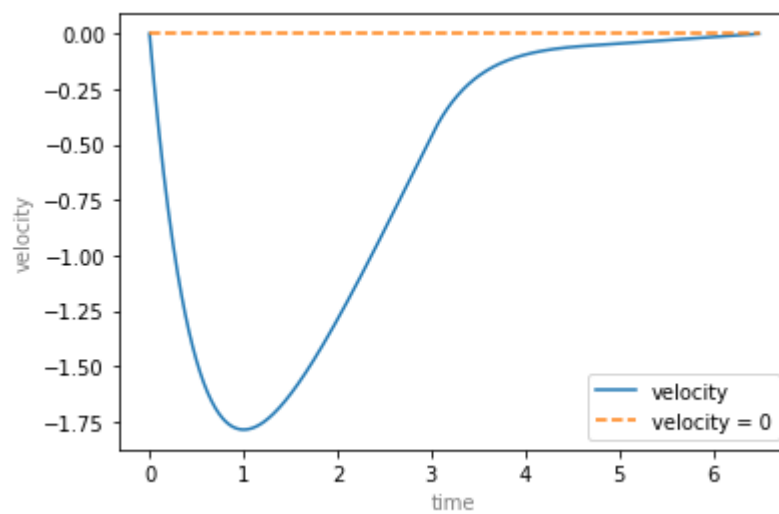


Рис. 9: Абсолютная скорость на программном движении с торможением.

Обеспечении режима торможения по угловой скорости путём изначального достижения большей тяги, подобранной эмпирически, а затем тяги дрейфа показано на рис.(8) и рис. (9).

Небольшое положительное ускорение после достижения тяги дрейфа на рис. (9) обусловлено накоплением ошибки интегрирования, так как для этого во всех случаях использовался простейший метод, Эйлера. Однако общих тенденций к торможению это не меняет, и описанные в данной работе методы можно считать подтверждёнными.

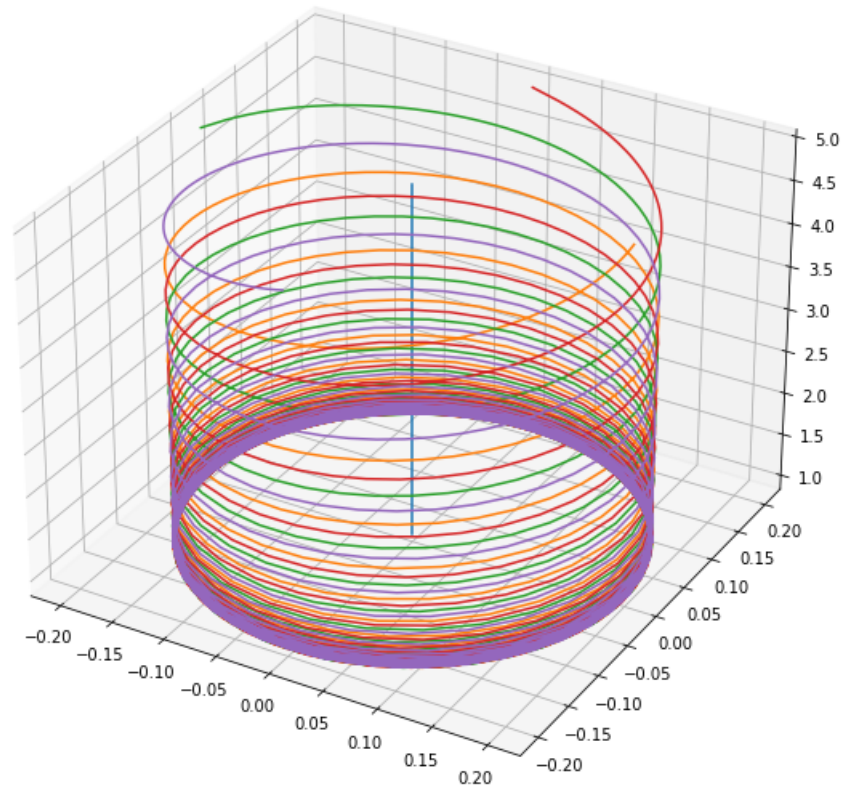


Рис. 10: Движение основных точек во время стабилизации.

Движение центра тела коптера и точек крепления пропеллера во время стабилизации изображено на рис. (10). На нём наглядно показано что происходит торможение и зависание на высоте равной примерно 1.0.

Код для моделирования был написан на Python 3.10, приложен в дополнительной главе "Приложение"

Заключение

В ходе исследования были решены следующие задачи:

- в главе 2 построена общая математическая модель движения квадрокоптера;
- в главе 3 построено программное движение для выхода из некоторых аварийных ситуаций;
- в главе 3 построено управление на программном движении, учитывающее отклонения от программной кривой;
- в главе 4 численно промоделировано полученное решение.

В работе был рассмотрен возможный выход из всех нефатальных ситуаций (когда система оставалась управляемой) путём превращения коптера в биспинер и дрейфа на ненулевой высоте с учётом задержки в управлении тягой пропеллеров.

Список литературы

- [1] Ю.В. Морозов, «Экстренное управление квадрокоптером при отказе двух симметричных винтов», Автоматика и телемеханика № 3, 2018, 19 с.
- [2] Zulu A., John S. «A Review of Control Algorithms for Autonomous Quadrotors»Open Journal of Applied Sciences, 2014, 4, pp. 547-556
- [3] Ranjbaran M., Khorasani K. «Fault recovery of an underactuated quadrotor aerial vehicle»49th IEEE Conf. Decision Control (CDC-2010). Atlanta, 2010. P. 4385–4392.
- [4] Mark W. Mueller and Raffaello D’Andrea «Stability and control of a quadcopter despite the complete loss of one, two, or three propellers»2014 IEEE International Conference on Robotics & Automation (ICRA), May 31–June 7, Hong Kong(China), 2014. P. 45–52.
- [5] Y. Zhang, A. Chamseddine, C. Rabbath, B. Gordon, C.-Y. Su, S. Rakheja, C. Fulford, J. Apkarian, and P. Gosselin, »Development of advanced FDD and FTC, techniques with application to an unmanned quadrotor helicopter testbed», Journal of the Franklin Institute, 2013. V. 350. No. 9. P. 2396–2422.
- [6] Freddi A., Lanzon A., Longhi S. «A feedback linearization approach to fault tolerance in quadrotor vehicles»IFAC World Congr. 2011. V. 44. No. 1. P. 5413–5418.
- [7] Lippiello V., Ruggiero F., Serra D. «Emergency landing for a quadrotor in case of a propeller failure: A backstepping approach»IEEE/RSJ Int. Conf. Intelligent Robots Syst. 2014. P. 4782–4788.
- [8] R. Mahony, V. Kumar, and P. Corke, «Aerial vehicles: Modeling, estimation, and control of quadrotor»IEEE robotics & automation magazine, 2012, vol. 19, no. 3, pp. 20–32.

- [9] Minh Duc Hua. «Contributions to the automatic control of aerial vehicles.»Automatic. Université Nice Sophia Antipolis, 2009. 196 p.
- [10] S. Bouabdallah and R. Siegwart, «Full control of a quadrotor»in Intelligent Robots and Systems, 2007. IROS 2007. IEEE/RSJ International Conference on. Ieee, 2007, pp. 153–158.
- [11] Wei Dong, Guo-Ying Gu, Xiangyang Zhu, Han Ding «Modeling and Control of a Quadrotor UAV with Aerodynamic Concepts »International Journal of Mechanical, Aerospace, Industrial, Mechatronic and Manufacturing Engineering Vol:7 No: 5, 2013, 6 p.
- [12] Xu, R. and Ozguner, U. «Sliding mode control of a class of underactuated systems.»Automatica, 2008, 44:233–241.
- [13] Гэн К., Чулин Н.А. «Алгоритмы стабилизации для автоматического управления траекторным движением квадрокоптера»Наука и Образование МГТУ им Н.Э. Баумана. 2015. № 05 с.218-235.
- [14] Kwakernaak, Huibert & Sivan, Raphael «Linear Optimal Control Systems. First Edition.»Wiley-Interscience. 1972
- [15] Борисов О.И., Громов В.С., Пыркин А.А., «Методы управления робототехническими приложениями. Учебное пособие». СПб.: Уни-верситет ИТМО, 2016, 108 с.
- [16] Boyd S. «EE363: Linear Dynamical Systems »Lecture. Stanford Univer., Winter Quarter 2008-09.
- [17] Пименов В.Г., Ложников А.Б. «Численные методы. Часть 2.»Издательство Уральского университета, 2014
- [18] Бабаджанянц Л.К., Пупышев Ю.А., Пупышева Ю.Ю. «Классическая механика.»Учебное пособие. Издание третье, исправленное. СПб, 2013. 259с.
- [19] Д.В. Шиманчук«Введение в современную робототехнику»2018, 203 с.

[20] Д.В. Шиманчук, «ТЕОРЕТИЧЕСКАЯ МЕХАНИКА кинематика твёрдого тела», 2021, 90с.

Приложение

```
1 from numpy import arange, sqrt, cos, sin, tan
2
3 kf = 6.41 * (10 ** -6)
4 km = 1.69 * (10 ** -2)
5 gamma = 2.75 * (10 ** -3)
6
7 # force
8 def f(w):
9     return kf * (w ** 2)
10
11 radvec0 = [0, 0, 12]
12 l = 0.2
13 m = 0.5
14 g = 9.81
15 omega0 = [sqrt(m*g/(4*kf)), 0, sqrt(m*g/(4*kf)), 0]
16 omegadreif = [sqrt(m*g/(2*kf)), 0, sqrt(m*g/(2*kf)), 0]
17
18
19 # momentums of inertia
20 IQx = 3.2 * (10 ** -3)
21 IQz = 5.5 * (10 ** -3)
22 IPx = 1.5 * (10 ** -5)
23 IPz = 1.5 * (10 ** -9)
24 IBx = IQx - 4 * IPx
25 IBz = IQz - 4 * IPz
26
27 kr = gamma / IBz
28
29 h = 0.01 # step
30 Tw = 0.5 # delay
31 T = 3 # end time
```

```

32 t = arange(0, T, h)
33
34 # diff of angular velocity
35 def domega(start, end):
36     if abs(end - start) <= 1:
37         return 0
38     else:
39         return (end - start) / Tw
40
41 # array of angular velocites
42 def omega_gen(omega0, omegaend, t):
43     omega = [omega0[0]]
44     for i in range(len(t) - 1):
45         omega.append(omega[-1] + h * domega(omega[-1],
46                                             omegaend[0]))
47     return omega
48
49 omega = list(omega_gen(omega0, omegadreif, t))
50
51 print(omega[0], omega[-1])
52
53 #%matplotlib inline
54 import matplotlib.pyplot as plt
55
56 plt.plot(t, omega)
57
58 plt.plot(t, [omegadreif[0] for _t in t], "--")
59 plt.legend(['omega', 'omega for dreif'])
60 plt.xlabel('time', color='gray')
61 plt.ylabel('omega', color='gray')
62 plt.show()
63
64 from numpy import matmul

```

```

65 from numpy import array as arr
66
67 from numpy import cross
68
69 def dpqr(w, p, q, r, u=list([0, 0])):
70     return [(- (IQz - IQx) * q * r -
71              IPz * q * (w[0] + w[1])) / IBx,
72             ((f(w[0]) - f(w[1])) * l +
73              (IQz - IQx) * p * r +
74              IPz * p * (w[0] + w[1]) + u[1]) / IBx,
75             (IPz * w[0] + IPz * w[1] - gamma * r +
76              km * (f(w[0]) + f(w[1]))) / IBz]
77
78 # angular velocity on axes
79 def pqr_gen(omega, pqr0, t):
80     pqr = [pqr0]
81     for i in range(len(t) - 1):
82         pqr.append([pqr[-1][0] + h * dpqr([omega[i+1],
83         omega[i+1]], pqr[-1][0], pqr[-1][1], pqr[-1][2])[0],
84         pqr[-1][1] + h * dpqr([omega[i+1],
85         omega[i+1]], pqr[-1][0], pqr[-1][1], pqr[-1][2])[1],
86         pqr[-1][2] + h * dpqr([omega[i+1],
87         omega[i+1]], pqr[-1][0], pqr[-1][1], pqr[-1][2])[2]])
88     return pqr
89
90 pqr = pqr_gen(omega, [0, 0, 0], t)
91
92
93 # orientation matrix
94 def R(psi, tetta, phi):

```

```

95     Rpsi = arr ([[ cos(psi), -sin(psi), 0],
96                  [ sin(psi),  cos(psi), 0],
97                  [          0,          0, 1]])
98     Rtetta = arr ([[1,          0,          0],
99                    [0, cos(tetta), -sin(tetta)],
100                   [0, sin(tetta),  cos(tetta)]])
101     Rphi = arr ([[ cos(phi), -sin(phi), 0],
102                  [ sin(phi),  cos(phi), 0],
103                  [          0,          0, 1]])
104     return matmul(matmul(Rpsi, Rtetta), Rphi)
105
106 # diff angles of Euler
107 def dangles(psi, tetta, phi, p, q, r):
108     dpsi = (p*sin(phi) + q*cos(phi)) / sin(tetta)
109           if tetta != 0 else 0
110     dtetta = p*cos(phi) - q*sin(phi)
111     dphi = r - (p*sin(phi) - q*cos(phi)) / tan(tetta)
112           if tetta != 0 else r
113     return dpsi, dtetta, dphi
114
115 angles = [arr([0, 0, 0])]
116
117 R0 = arr ([[1, 0, 0],
118            [0, 1, 0],
119            [0, 0, 1],])
120
121 def R_gen(angles, p, q, r):
122     Rar = [R0]
123     for i in range(len(t) - 1):
124         angles.append(angles[-1] + h *
125                       arr(dangles(angles[-1][0], angles[-1][1],
126                                   angles[-1][2],
127                                   p[i+1], q[i+1], r[i+1])))

```

```

128         Rar.append(R(angles[-1][0], angles[-1][1],
129                     angles[-1][2]))
130     return Rar
131
132 Rar = R_gen(angles, p, q, r)
133
134 # 2nd Newton law
135 def d2d(R, w1, w3):
136     result = [R[i][2] * (f(w1) + f(w3)) / m
137              for i in range(3)]
138     result[2] -= g
139     return result
140
141 def d_v(omega):
142
143     vd = [arr([0, 0, 0])]
144     for i in range(len(t) - 1):
145         vd.append(vd[-1] + arr([h, h, h]) *
146                  arr(d2d(Rar[i+1], omega[i+1],
147                          omega[i+1])))
148
149
150     d = [[0, 0, 5]]
151     for i in range(len(t) - 1):
152         d.append(arr(d[-1]) + arr([h, h, h]) * vd[i+1])
153         if d[-1][2] < 0:
154             d[-1][2] = 0
155
156     return d, vd
157
158 d_current, v = d_v(omega)
159 plt.plot(t, [item[2] for item in v])
160 plt.show()

```



```

161
162 from control import lqr
163
164 def A(r, w):
165     a = ((IQx - IQz) * r - IPz * (w[0] + w[1])) / IBx
166     return [[ 0, a, 0, 0],
167             [-a, 0, 0, 0],
168             [ 0, -1, 0, r],
169             [ 1, 0, -r, 0]]
170
171 B = [[0], [1 / IBx], [0], [0]]
172
173 Rlqr = 100
174 Qlqr = [[0.01, 0, 0, 0],
175         [0, 0.01, 0, 0],
176         [0, 0, 0.01, 0],
177         [0, 0, 0, 0.01]]
178
179 def gen_lqr(omega, pqr0, t):
180     _pqr = [pqr0]
181     for i in range(len(t) - 1):
182         K, S, E = lqr(A(pqr[i][2],
183                        [omega[i], omega[i]]),
184                      B, Qlqr, Rlqr)
185         u = [K[0][j] * (pqr[i][j] - _pqr[-1][j])
186             for j in range(2)]
187         _pqr.append([_pqr[-1][0] + h *
188                    dpqr([omega[i+1],
189                          omega[i+1]],
190                          _pqr[-1][0],
191                          _pqr[-1][1],
192                          _pqr[-1][2], u)[0],
193                    _pqr[-1][1] + h *

```

```

194         dpqr ([ omega [ i + 1 ],
195                omega [ i + 1 ] ],
196                _pqr [ - 1 ] [ 0 ],
197                _pqr [ - 1 ] [ 1 ],
198                _pqr [ - 1 ] [ 2 ], u) [ 1 ],
199         _pqr [ - 1 ] [ 2 ] + h *
200         dpqr ([ omega [ i + 1 ],
201                omega [ i + 1 ] ],
202                _pqr [ - 1 ] [ 0 ],
203                _pqr [ - 1 ] [ 1 ],
204                _pqr [ - 1 ] [ 2 ], u) [ 2 ]])
205     return _pqr
206
207 _pqr = gen_lqr(omega, [0.01, 0.01, 0.01], t)
208
209 print(_pqr[-1], pqr[-10])
210
211 fig, (ax1, ax2, ax3) = plt.subplots(3, 1, sharey=False,
212                                     figsize=(7,14))
213 p = [item[0] for item in pqr]
214 _p = [item[0] for item in _pqr]
215 ax1.plot(t, _p, '-', t, p, '—')
216 ax1.set_ylabel('p')
217 #
218 q = [item[1] for item in pqr]
219 _q = [item[1] for item in _pqr]
220 ax2.plot(t, _q, '-', t, q, '—')
221 ax2.set_ylabel('q')
222 #ax2.plot(t, q)
223
224 r = [item[2] for item in pqr]
225 _r = [item[2] for item in _pqr]
226 ax3.plot(t, _r, '-', t, r, '—')

```

```

226 ax3.set_ylabel('r')
227 ax3.set_xlabel('t')
228 #ax3.plot(t, r)
229 plt.show()
230
231 plt.plot(t, [(Rar[i][2] * 2 * f(omega[i])/m -
232             [0, 0, g])[2]
233             for i in range(len(t))])
234 plt.show()
235 d_current, v = d_v(omega)
236
237 plt.plot(t, [item[2] for item in v])
238 plt.show()
239
240 fig, (ax1, ax2, ax3) = plt.subplots(3, 1, sharey=False,
241                                   figsize=(5,5))
242 ax1.plot(t, [d_current[i][0]
243             for i in range((len(d_current)))]])
244 ax1.set_xlabel('t')
245 ax1.set_ylabel('x_i')
246 ax2.plot(t, [d_current[i][1]
247             for i in range((len(d_current)))]])
248 ax2.set_xlabel('t')
249 ax2.set_ylabel('y_i')
250 ax3.plot(t, [d_current[i][2]
251             for i in range((len(d_current)))]])
252 plt.show()
253
254
255 from mpl_toolkits.mplot3d import Axes3D
256
257 x = [d_current[i][0] for i in range(len(t))]
258 y = [d_current[i][1] for i in range(len(t))]
259 z = [d_current[i][2] for i in range(len(t))]

```

```

258
259 xi = [arr(matmul(arr([1, 0, 0]), Rar[i]))[0] + arr(x[i])
260         for i in range(len(x))]
261 yi = [arr(matmul(arr([1, 0, 0]), Rar[i]))[1] + arr(y[i])
262         for i in range(len(x))]
263
264 fig, (ax1, ax2) = plt.subplots(2, 1, sharey=False,
265                               figsize=(5,5))
266 ax1.plot(t, xi)
267 #ax1.set_ylim(0, w0[0] * 2)
268 ax1.set_xlabel('t')
269 ax1.set_ylabel('x_i')
270 ax2.plot(t, yi)
271 ax2.set_xlabel('t')
272 ax2.set_ylabel('y_i')
273
274 x1 = [arr(matmul(arr([1, 0, 0]), Rar[i]))[0] + arr(x[i])
275         for i in range(len(t))]
276 y1 = [arr(matmul(arr([1, 0, 0]), Rar[i]))[1] + arr(y[i])
277         for i in range(len(t))]
278 z1 = [arr(matmul(arr([1, 0, 0]), Rar[i]))[2] + arr(z[i])
279         for i in range(len(t))]
280 x2 = [arr(matmul(arr([-1, 0, 0]), Rar[i]))[0] + arr(x[i])
281         for i in range(len(t))]
282 y2 = [arr(matmul(arr([-1, 0, 0]), Rar[i]))[1] + arr(y[i])
283         for i in range(len(t))]
284 z2 = [arr(matmul(arr([-1, 0, 0]), Rar[i]))[2] + arr(z[i])
285         for i in range(len(t))]
286 x3 = [arr(matmul(arr([0, 1, 0]), Rar[i]))[0] + arr(x[i])
287         for i in range(len(t))]
288 y3 = [arr(matmul(arr([0, 1, 0]), Rar[i]))[1] + arr(y[i])
289         for i in range(len(t))]
290 z3 = [arr(matmul(arr([0, 1, 0]), Rar[i]))[2] + arr(z[i])

```

```

290     for i in range(len(t))
291 x4 = [arr(matmul(arr([0, -1, 0]), Rar[i]))[0] + arr(x[i]))
292     for i in range(len(t))]
293 y4 = [arr(matmul(arr([0, -1, 0]), Rar[i]))[1] + arr(y[i]))
294     for i in range(len(t))]
295 z4 = [arr(matmul(arr([0, -1, 0]), Rar[i]))[2] + arr(z[i]))
296     for i in range(len(t))]
297
298 fig = plt.figure(figsize=(30,10))
299 ax = fig.add_subplot(111, projection='3d')
300 ax.plot(x, y, z, label='parametric curve')
301 ax.plot(x1, y1, z1, label='parametric curve')
302 ax.plot(x2, y2, z2, label='parametric curve')
303 ax.plot(x3, y3, z3, label='parametric curve')
304 ax.plot(x4, y4, z4, label='parametric curve')
305 plt.show()
306
307 t_temp = arange(T, T + 3.5, h)
308
309 v_0 = v[-1][2]
310 print(v_0)
311
312 om1 = omega_gen(omega0, 1.0439 * arr(omegadreif), t)
313 om1 = list(om1) + list(omega_gen(1.0439 * arr(omegadreif)
    , 0.9999*arr(omegadreif), t_temp))
314 plt.plot(list(t)+ list(t_temp), om1)
315 plt.plot(list(t)+ list(t_temp), [omegadreif[0] for _t in
    (list(t)+ list(t_temp))], '—')
316 plt.legend(['omega', 'omega_dreif'])
317 plt.xlabel('time', color = 'gray')
318 plt.ylabel('omega', color = 'gray')
319 plt.show()
320

```

```

321 t = list(t)+ list(t_temp)
322
323 Rlqr = 60
324 Qlqr = [[0.01, 0, 0, 0],
325          [0, 0.01, 0, 0],
326          [0, 0, 0.01, 0],
327          [0, 0, 0, 0.01]]
328
329 pqr = pqr_gen(om1, [0, 0, 0], t)
330 _pqr = gen_lqr(om1, [0.1, 0.1, 1], t)
331
332 fig, (ax1, ax2, ax3) = plt.subplots(3, 1, sharey=False,
333                                     figsize=(7,14))
334 p = [item[0] for item in pqr]
335 _p = [item[0] for item in _pqr]
336 ax1.plot(t, _p, '-', t, p, '-')
337 ax1.set_ylabel('p', color = 'grey')
338 #
339 q = [item[1] for item in pqr]
340 _q = [item[1] for item in _pqr]
341 ax2.plot(t, _q, '-', t, q, '-')
342 ax2.set_ylabel('q', color = 'grey')
343 #ax2.plot(t, q)
344
345 r = [item[2] for item in pqr]
346 _r = [item[2] for item in _pqr]
347 ax3.plot(t, _r, '-', t, r, '-')
348 ax3.set_ylabel('r', color = 'grey')
349 ax3.set_xlabel('t', color = 'grey')
350 #ax3.plot(t, r)
351 plt.show()
352
353 angles = [arr([0, 0, 0])]

```

```

353 Rar = R_gen(angles , p, q, r)
354
355 d_current , v = d_v(om1)
356
357 print(v[-1])
358
359 plt.plot(t, [item[2] for item in v])
360 plt.plot(t, [0 for _t in t], '—')
361 plt.legend(['velocity', 'velocity = 0'])
362 plt.xlabel('time', color = 'gray')
363 plt.ylabel('velocity', color = 'gray')
364 plt.show()
365
366 x = [d_current[i][0] for i in range(len(t))]
367 y = [d_current[i][1] for i in range(len(t))]
368 z = [d_current[i][2] for i in range(len(t))]
369
370 x1 = [arr(matmul(arr([1, 0, 0]), Rar[i]))[0] + arr(x[i])
371        for i in range(len(t))]
372 y1 = [arr(matmul(arr([1, 0, 0]), Rar[i]))[1] + arr(y[i])
373        for i in range(len(t))]
374 z1 = [arr(matmul(arr([1, 0, 0]), Rar[i]))[2] + arr(z[i])
375        for i in range(len(t))]
376 x2 = [arr(matmul(arr([-1, 0, 0]), Rar[i]))[0] + arr(x[i])
377        for i in range(len(t))]
378 y2 = [arr(matmul(arr([-1, 0, 0]), Rar[i]))[1] + arr(y[i])
379        for i in range(len(t))]
380 z2 = [arr(matmul(arr([-1, 0, 0]), Rar[i]))[2] + arr(z[i])
381        for i in range(len(t))]
382 x3 = [arr(matmul(arr([0, 1, 0]), Rar[i]))[0] + arr(x[i])
383        for i in range(len(t))]
384 y3 = [arr(matmul(arr([0, 1, 0]), Rar[i]))[1] + arr(y[i])
385        for i in range(len(t))]

```

```

386 z3 = [arr(matmul(arr([0, 1, 0]), Rar[i]))[2] + arr(z[i])
387         for i in range(len(t))]
388 x4 = [arr(matmul(arr([0, -1, 0]), Rar[i]))[0] + arr(x[i])
389         for i in range(len(t))]
390 y4 = [arr(matmul(arr([0, -1, 0]), Rar[i]))[1] + arr(y[i])
391         for i in range(len(t))]
392 z4 = [arr(matmul(arr([0, -1, 0]), Rar[i]))[2] + arr(z[i])
393         for i in range(len(t))]
394
395 fig = plt.figure(figsize=(30,10))
396 ax = fig.add_subplot(111, projection='3d')
397 ax.plot(x, y, z, label='parametric curve')
398 ax.plot(x1, y1, z1, label='parametric curve')
399 ax.plot(x2, y2, z2, label='parametric curve')
400 ax.plot(x3, y3, z3, label='parametric curve')
401 ax.plot(x4, y4, z4, label='parametric curve')
402 plt.show()

```